



Figura 17.1 - Partizione della portata in uno scaricatore di piena.

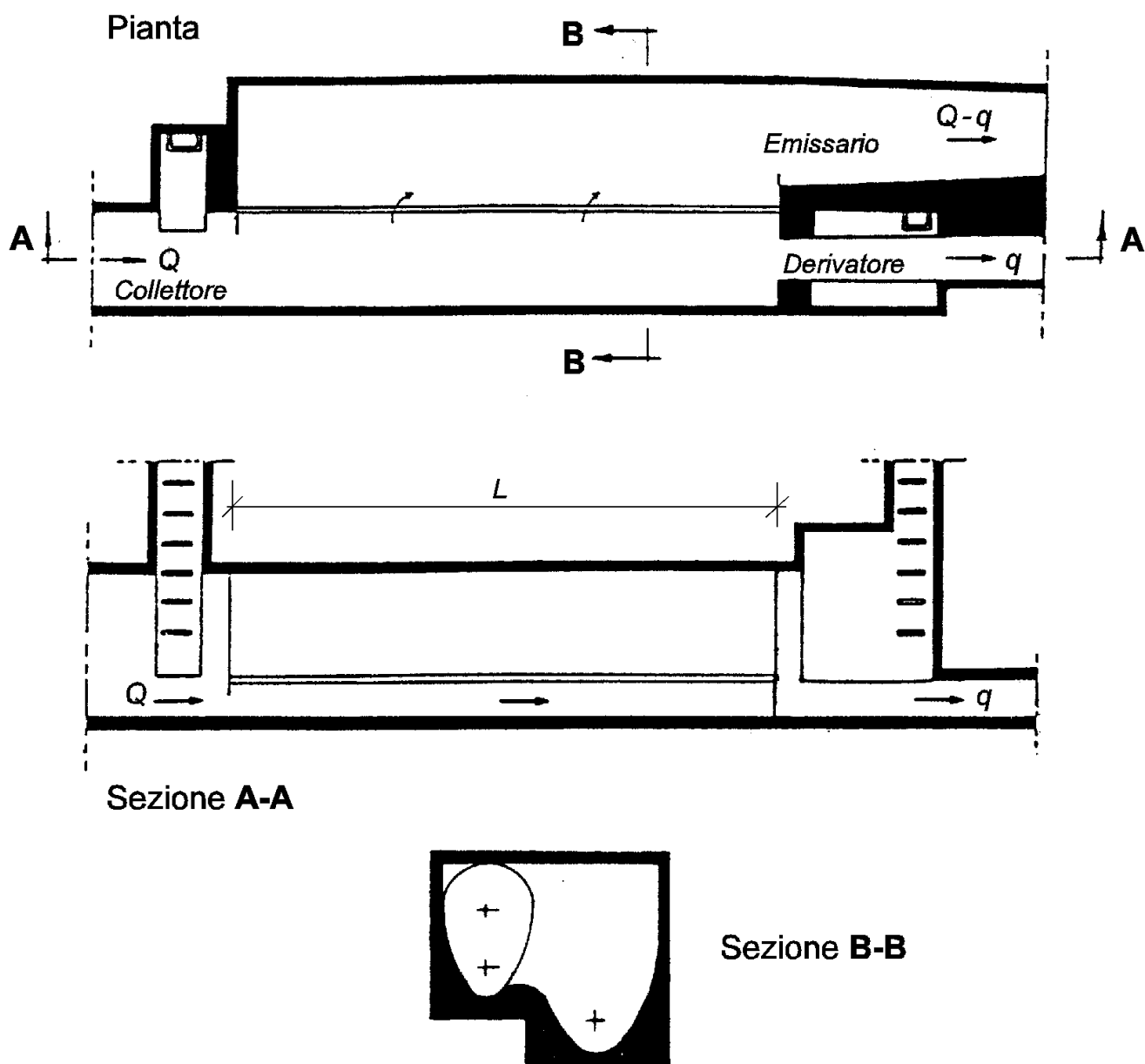
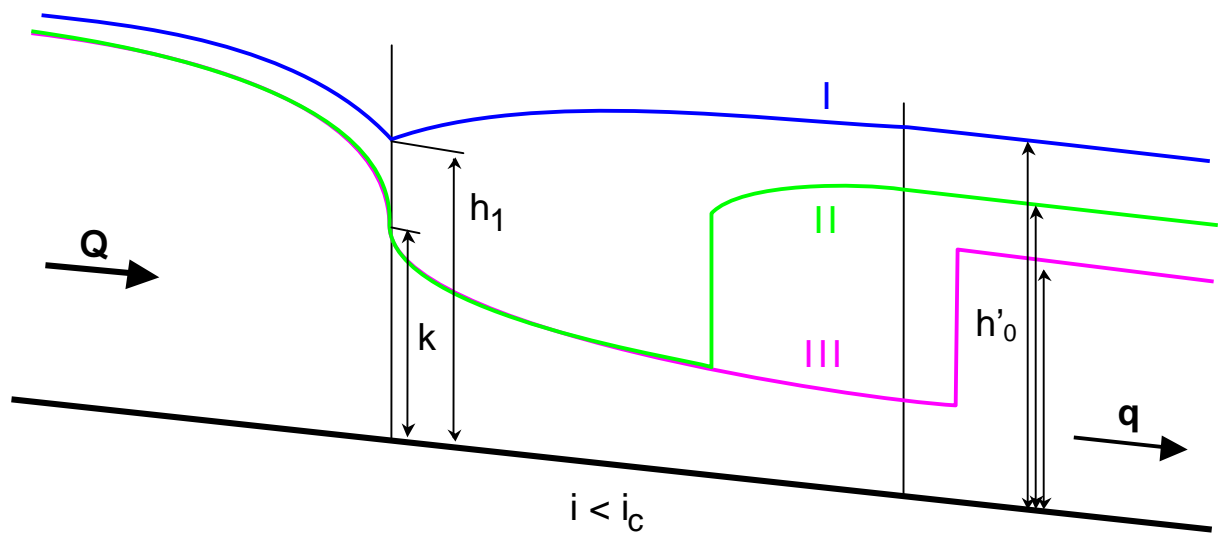
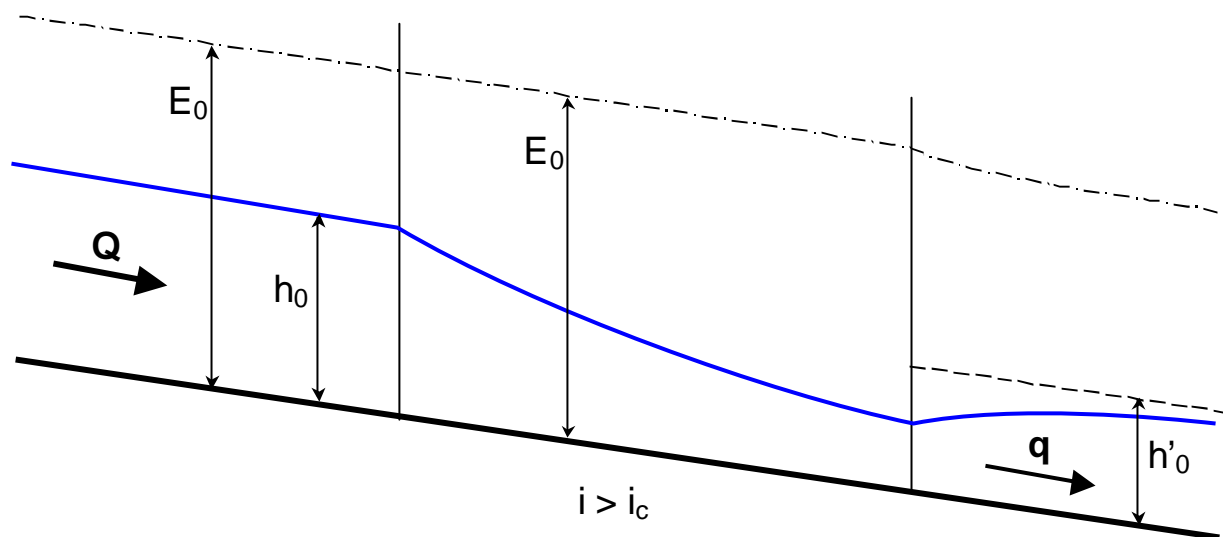


Figura 17.2 - Sfiatore laterale a soglia bassa.



Correnti a pelo libero con portata decrescente: andamenti del profilo del pelo libero in alvei a DEBOLE PENDENZA.



Correnti a pelo libero con portata decrescente: andamenti del profilo del pelo libero in alvei a FORTE PENDENZA.

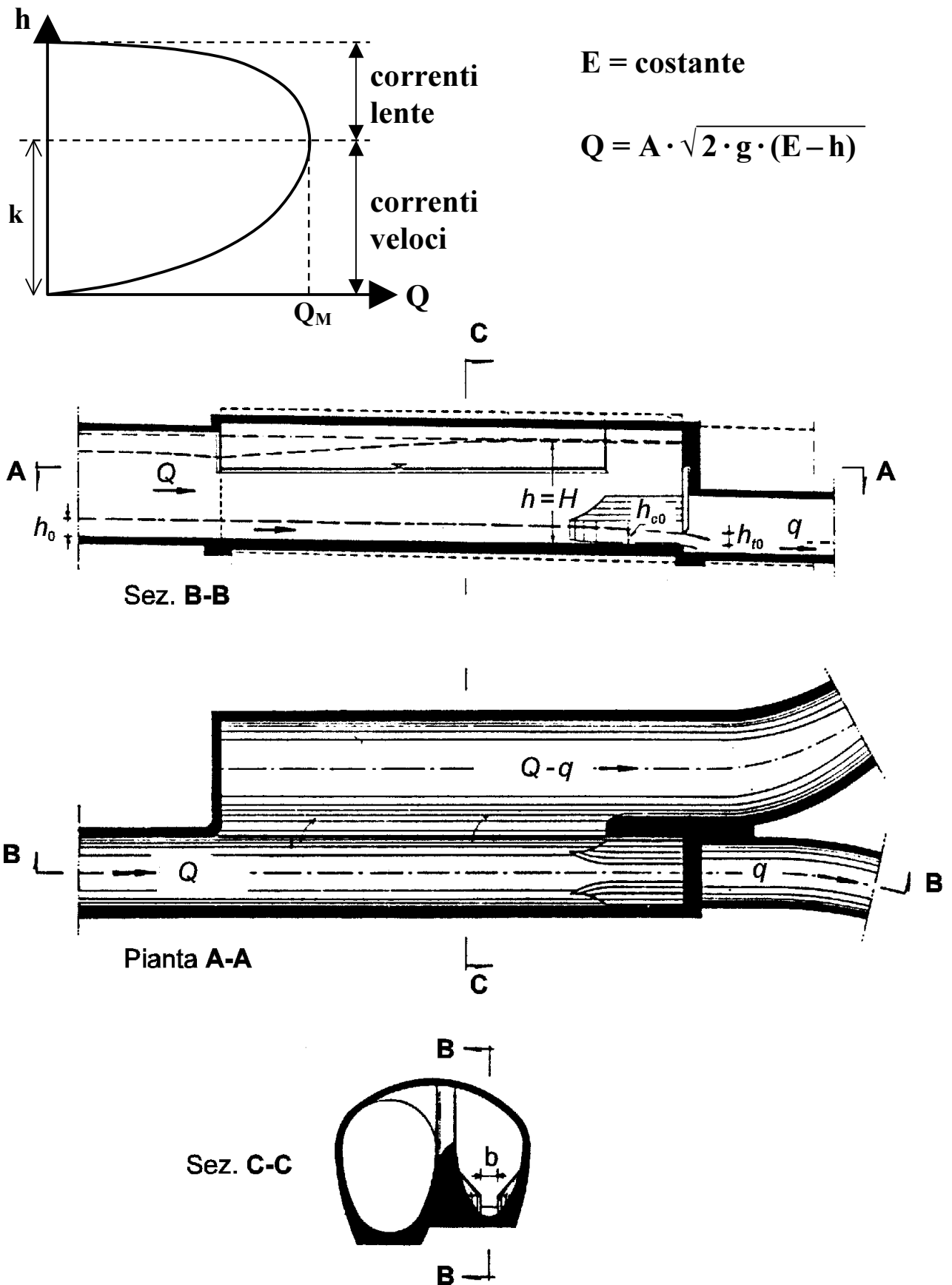
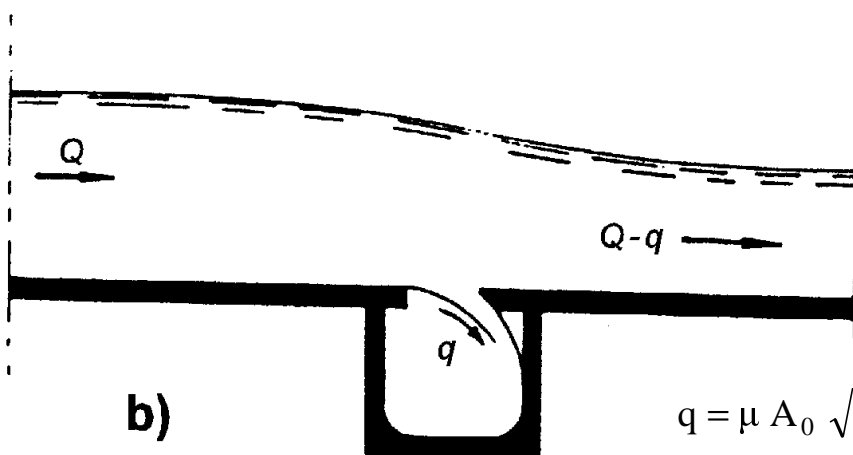
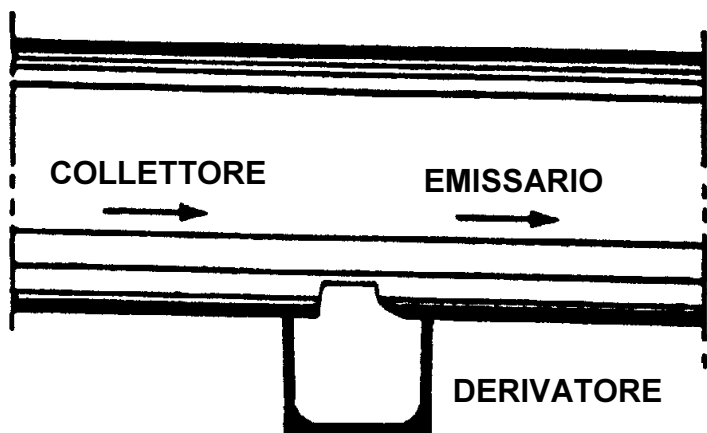


Figura 17.13 - Sfioratore laterale a soglia alta con venturimetro (restringimento) e luce di fondo.



$$q = \mu A_0 \sqrt{2 g h}$$

$$\mu = 0.69$$

corr. lente

$$\mu = 0.69 - 0.09 Fr$$

corr. veloci

Figura 17.5 - Scaricatori a salto a fondo allineato e schema di funzionamento:

a) per $Q = q_0$,

b) per $Q > q_0$.

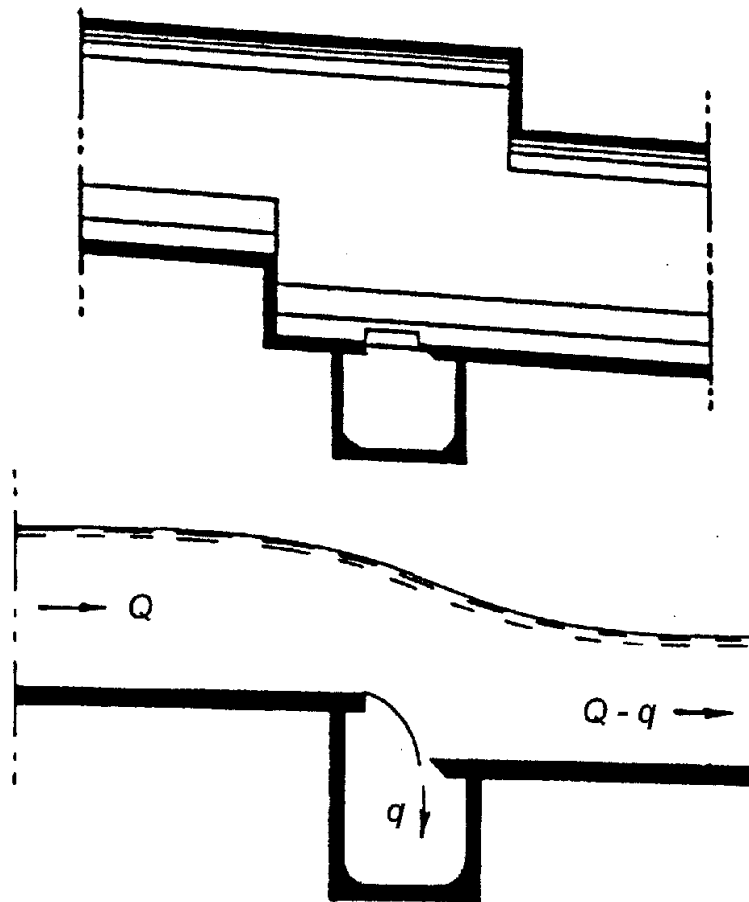


Figura 17.6 - Scaricatori a salto brusco e schema di funzionamento per $Q > q_0$.

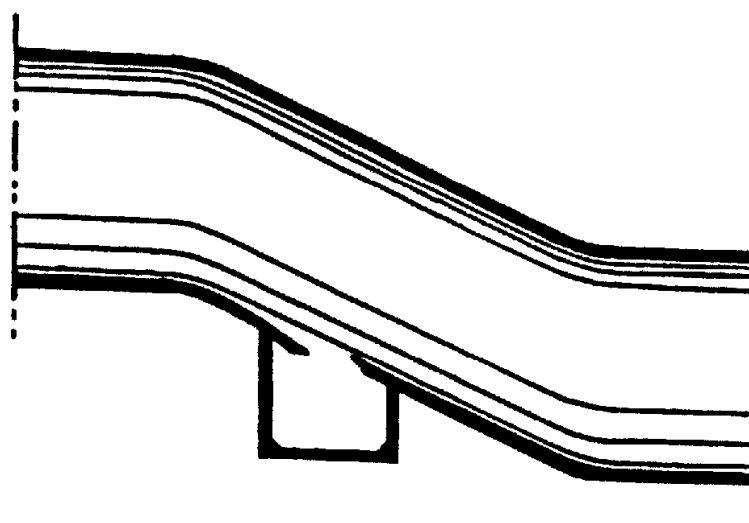


Figura 17.7 - Scaricatori a salto con scivolo di raccordo.

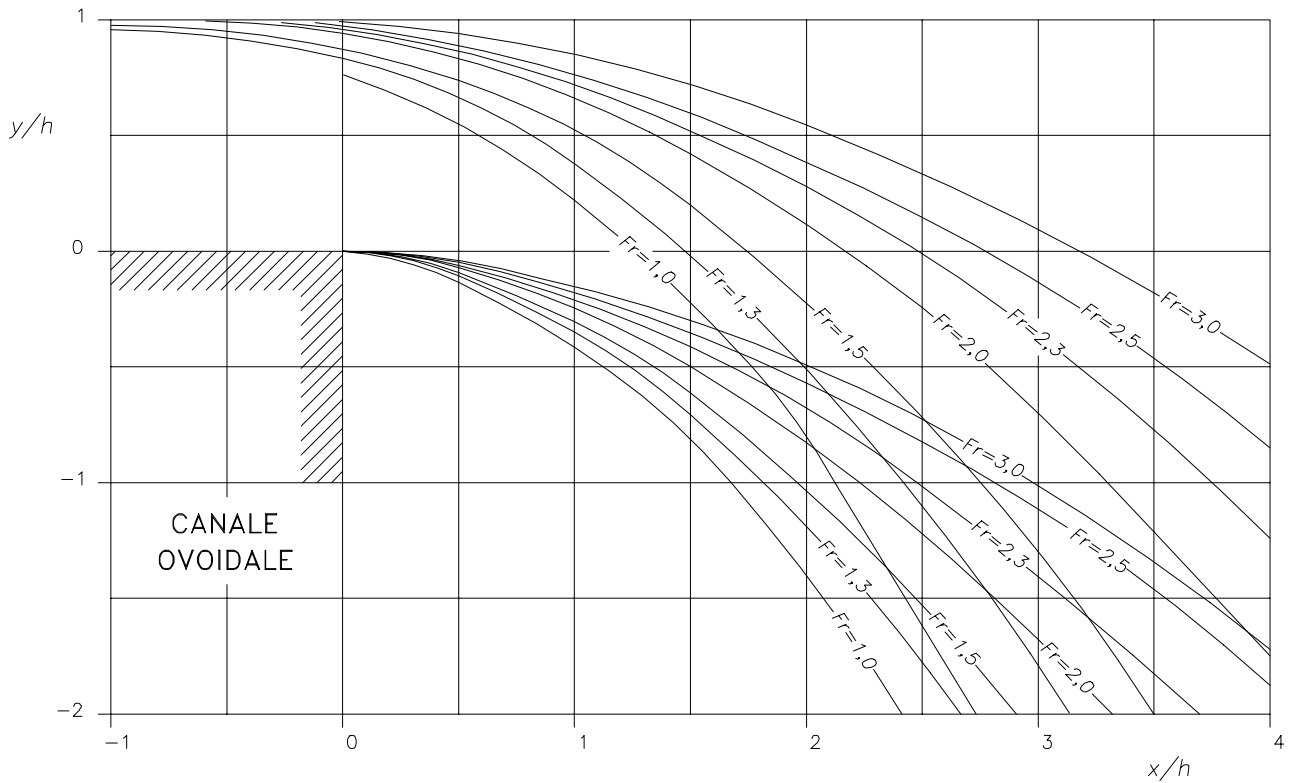


Figura 17.8 - Profili in coordinate adimensionali delle vene in caduta libera da canale semiovoidale, rilevati nel piano di simmetria.

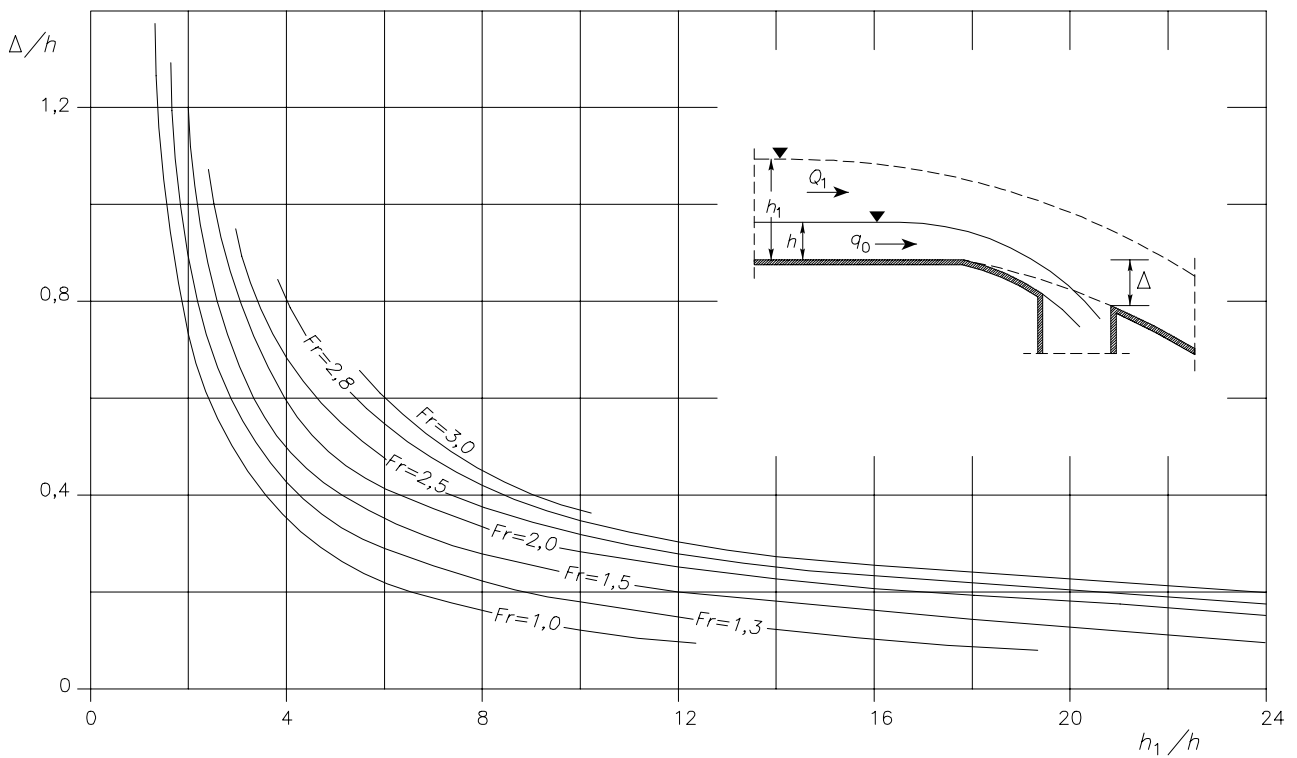


Figura 17.9 - Valori del rapporto h_1/h in funzione di Δ/h , al variare del numero di Froude Fr della corrente in arrivo q_0 .

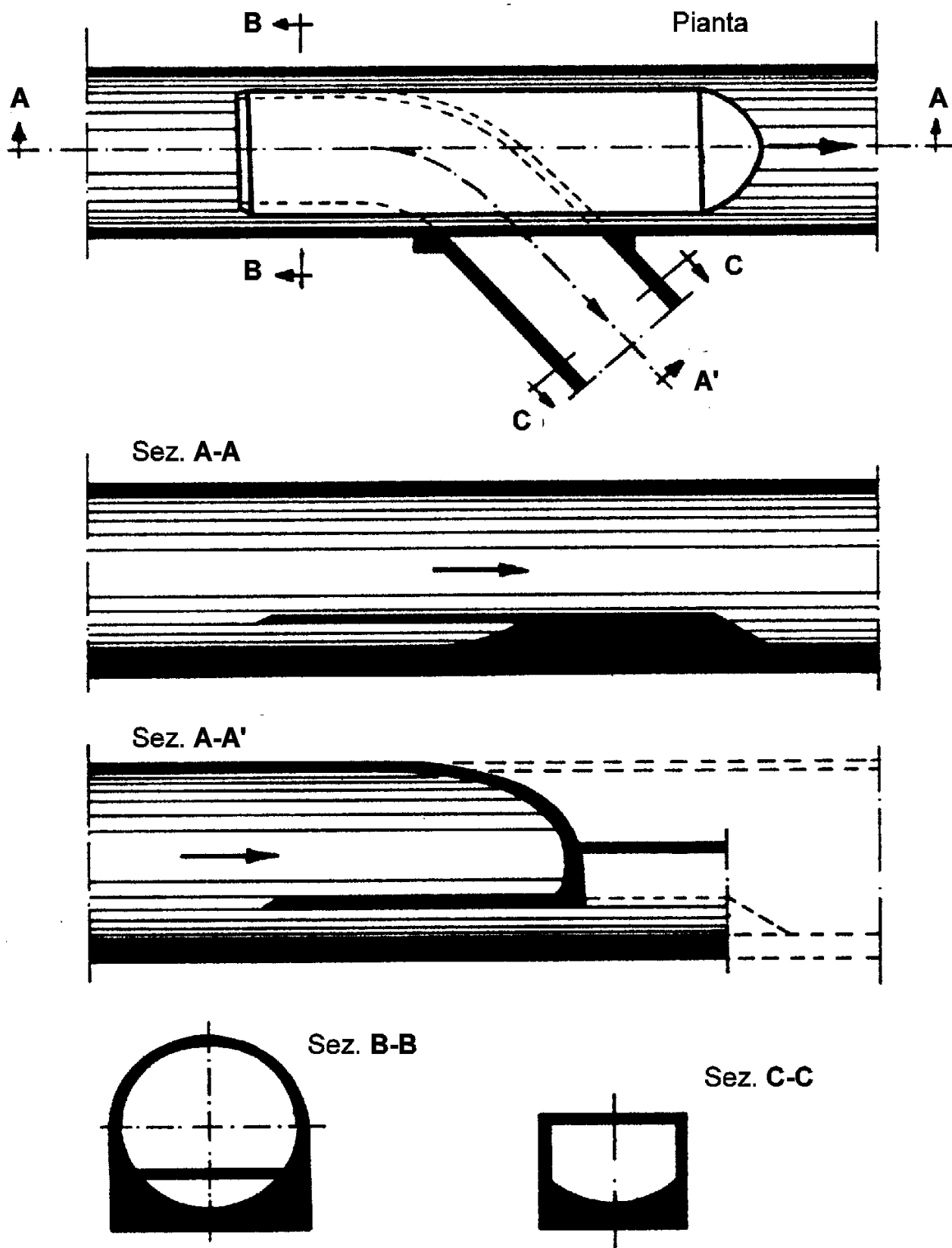


Figura 17.10 - Derivatore frontale per sezione circolare.

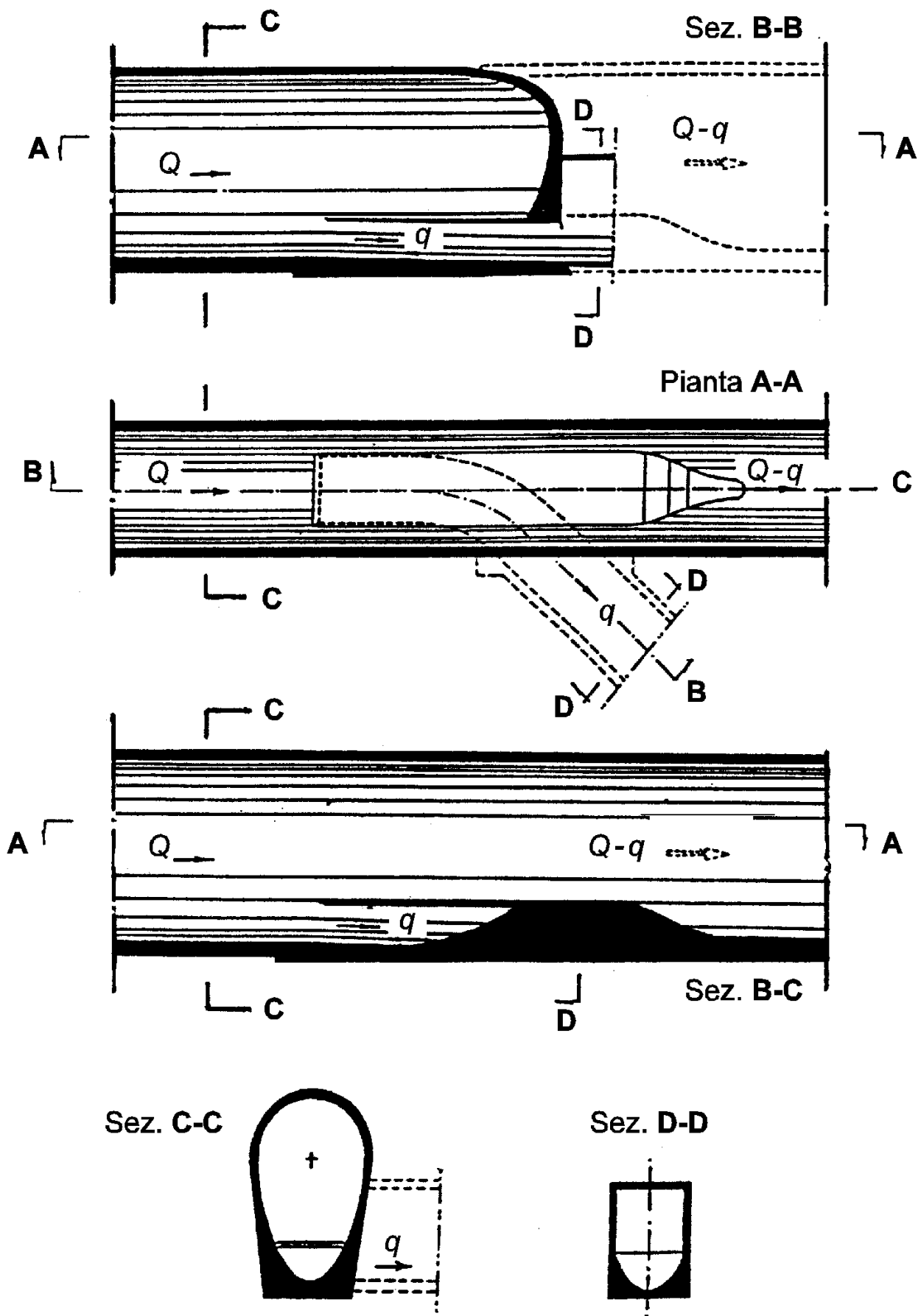
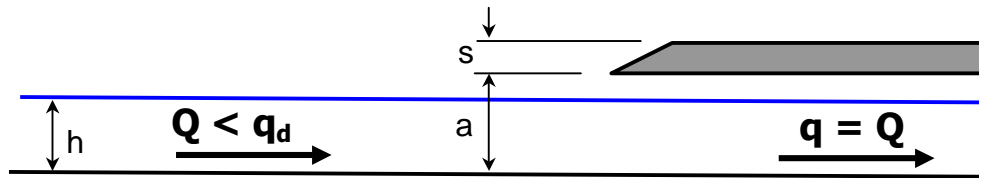
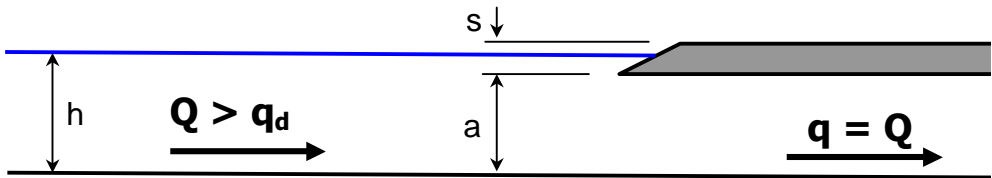


Figura 17.11 - Derivatore frontale per sezione ovoidale.

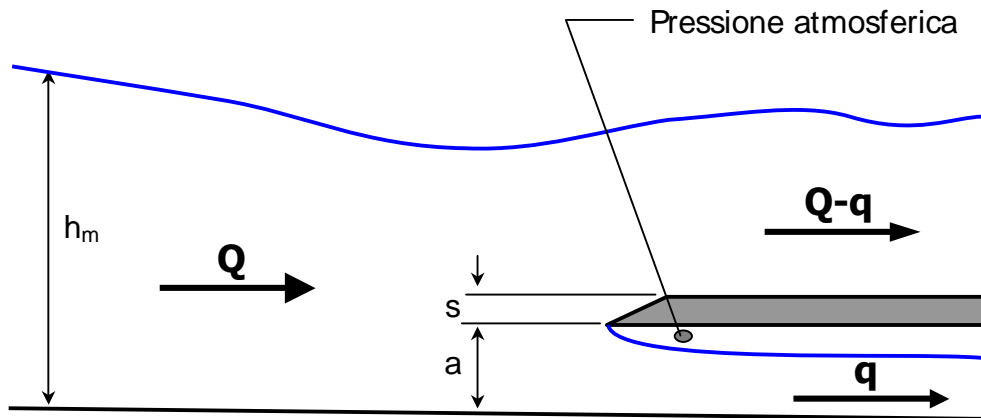
a) $Q < q_d$



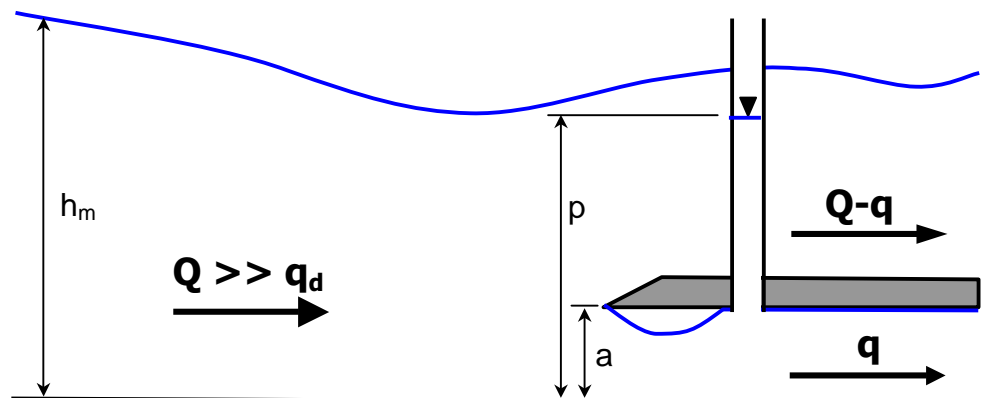
b) $Q > q_d$, con $h < a+s$



c) $Q \gg q_d$, con vena inferiore ben aerata



d) $Q \gg q_d$, con vena inferiore NON aerata



Andameno qualitativi del profilo di corrente in un derivatore frontale nel caso di canale a debole pendenza.